

05; 09

© 1990 г.

## ОРИЕНТАЦИОННАЯ ЗАВИСИМОСТЬ ШИРИНЫ ДИПОЛЬНЫХ ЩЕЛЕЙ В СПЕКТРЕ СПИНОВЫХ ВОЛН ПРОИЗВОЛЬНО НАМАГНИЧЕННОЙ ФЕРРОМАГНИТНОЙ ПЛЕНКИ

*П. А. Колодин, Е. Г. Ржихина, А. Н. Славин*

Показано, что выбором ориентации внешнего магнитного поля можно добиться минимальной ширины дипольных «щелей» в дипольно-обменном спектре спиновых волн ферромагнитной пленки. Дано теоретическое объяснение эффекта и установлено, что эффект может наблюдаться только при несимметричном закреплении поверхностных спинов на гранях пленки.

### Введение

Исследования распространения спиновых волн в некоторых образцах высококачественных ( $\Delta H_k < 0.3 \text{ Э}$ ) монокристаллических пленок железо-иттриевого граната (ЖИГ) показали осциллирующую зависимость потерь на распространение спиновой волны от ее частоты [<sup>1, 2</sup>], связанную с дипольным «растягиванием» мод и образованием дипольных «щелей» в дипольно-обменном спектре спиновых волн ферромагнитной пленки (ФП) [<sup>3, 4</sup>]. В работах [<sup>3-6</sup>] теоретически и экспериментально показано, что ширина дипольных «щелей» в спектре ФП существенно зависит от вида обменных граничных условий (или условий закрепления поверхностных спинов), которые определяются значением констант поверхности анизотропии на гранях ФП [<sup>7</sup>]. В случае сильного закрепления поверхностных спинов дипольные «щели» хорошо видны в эксперименте и экспериментальная амплитудно-частотная характеристика (АЧХ) прибора, содержащего ФП (например, линии задержки), оказывается осциллирующей. В случае слабого закрепления поверхностных спинов ширина дипольных «щелей» в спектре ФП оказывается меньше частоты релаксации  $\omega_r$  ( $\omega_r = \mu_0 |g| \Delta H_k$ ) и АЧХ исследуемого прибора остается гладкой [<sup>4</sup>].

В рамках существующей технологии производства монокристаллических пленок ЖИГ (метод жидкокристаллической эпитаксии) пока не найдено эффективных способов управления величиной ростовой поверхностью анизотропии, возникающей на гранях пленки ЖИГ и определяющей закрепление поверхностных спинов. Поэтому пленки, выращиваемые по стандартной технологии, получаются как с гладкими, так и с осциллирующими АЧХ (т. е. как с слабо закрепленными, так и с сильно закрепленными спинами на поверхности ФП). Для практических же применений в устройствах обработки сверхвысокочастотных (СВЧ) сигналов необходимо, как правило, иметь высококачественные пленки ЖИГ с гладкими АЧХ.

Одним из средств управления состоянием поверхностных спинов в ферромагнитных пленках является ионная имплантация. Наведенная поверхностная анизотропия, возникающая в результате ионной имплантации пленок ЖИГ, имеет тип «легкая плоскость» [<sup>8</sup>] и величина ее зависит от дозы имплантированных ионов [<sup>9</sup>]. В работах [<sup>9, 10</sup>] показано, что, изменяя дозу имплантации, можно эффективно управлять видом АЧХ пленки ЖИГ.

В настоящей работе мы покажем, что существует еще один способ управления видом АЧХ приборов обработки СВЧ сигналов, содержащих пленки ЖИГ, —

ориентация пленок во внешнем магнитном поле. Этот способ не требует дополнительной технологической обработки и одинаково применим как к ионно-имплантированным, так и к обычным эпитаксиально выращенным монокристаллическим ферромагнитным пленкам. Заметим также, что при соблюдении специальных условий ориентация ФП, соответствующая гладкой АЧХ, может быть близка к термостабильной ориентации ФП во внешнем магнитном поле [11], что является дополнительным преимуществом предлагаемого способа.

На эффект зависимости ширины дипольных «щелей» в спектре спиновых волн пленки ЖИГ впервые было обращено внимание в работе [12].

Здесь мы приведем результаты экспериментального изучения этого эффекта и его описание на основе теории спектра дипольно-обменных спиновых волн в ФП при произвольных обменных граничных условиях [5].

### Эксперимент

В эксперименте использовались образцы размером  $4 \times 8$  мм, вырезанные из пленок ЖИГ, выращенных методом жидкофазной эпитаксии на подложках гадолиний-галлиевого граната ориентации (111). Имплантация проводилась

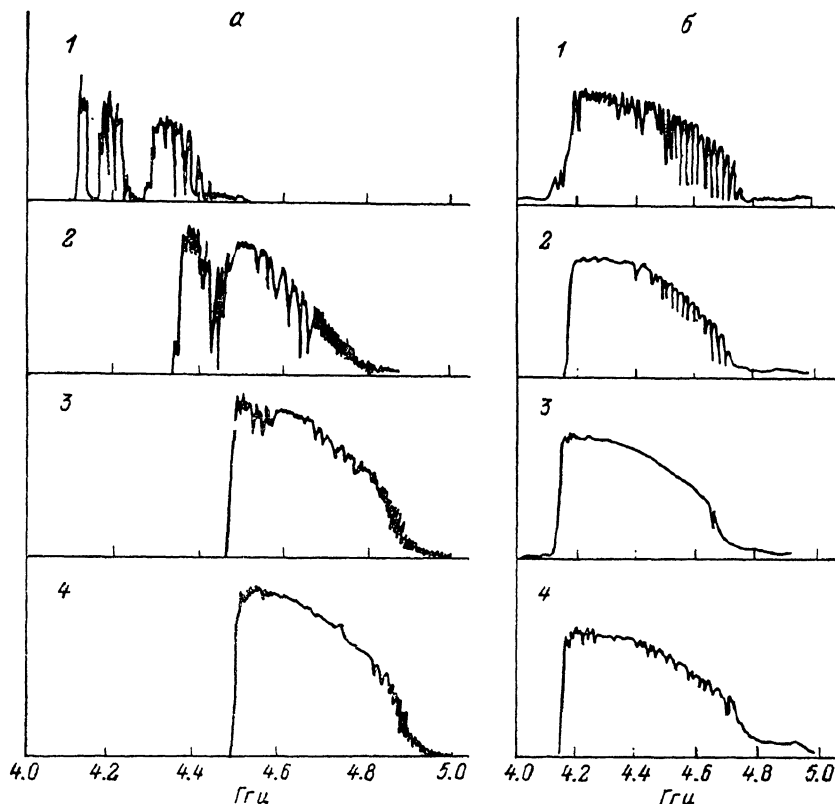


Рис. 1. Экспериментальные амплитудно-частотные характеристики исследуемого макета.  
a:  $\theta_e = 20^\circ$ ; 1 —  $H_e = 2280$ , 2 — 2430, 3 — 2500, 4 — 2710 Гц; 1 —  $\theta = 42.5$ , 2 — 41, 3 — 40.4, 4 — 39.7°; 1 —  $H_i = 1153$ , 2 — 1269, 3 — 1318, 4 — 1354 Гц; б: 1 —  $\theta_e = 90^\circ$ , 2 — 34, 3 — 22, 4 — 16°; 1 —  $H_e = 847$ , 2 — 1490, 3 — 2130, 4 — 2530 Гц; 0 = 63 (2), 46 (3), 35° (4).

ионами  $Ne^+$ ,  $O^+$ ,  $He^+$  с энергией 150 кэВ через всю поверхность образцов. Доза изменялась в интервале от  $2 \cdot 10^{13}$  до  $4 \cdot 10^{14} \text{ см}^{-2}$ . Имплантированные образцы пленок ЖИГ помещались в стандартный макет линии задержки, состоящий из двух микрополосковых антенн, сформированных фотолитографически на поликристаллической подложке и расположенных на расстоянии  $l = 3$  мм друг от друга. АЧХ макета снимались с помощью панорамного измерителя КСВН и ослабления. Измерение ориентации внешнего постоянного магнитного поля  $H$ , по отношению к пленке ЖИГ осуществлялось поворотом макета с исследуемым образ-

цом в поле электромагнита так, что проекция  $\mathbf{H}_e$  на плоскость пленки при повороте оставалась параллельной возбуждающей и приемной антеннам. При изменении угла  $\theta_e$ , определяющего отклонение внешнего магнитного поля  $\mathbf{H}_e$  от нормали к ФП, величина  $|\mathbf{H}_e|$  изменялась таким образом, чтобы начало спектра спиновых волн при всех ориентациях  $\mathbf{H}_e$  соответствовало одной и той же частоте  $f_{H_e}$ .

На рис. 1, б приведены экспериментальные АЧХ исследуемого макета с образцом пленки ЖИГ толщиной  $L=9.9$  мкм с  $\Delta H_k=0.3$  Э, подвергнутым имплантации ионами  $\text{Ne}^+$  с энергией  $E=150$  кэВ и дозой  $D=1 \cdot 10^{14} \text{ см}^{-2}$ . Эти АЧХ получены при разных значениях угла  $\theta_e$  и разных значениях  $|\mathbf{H}_e|$ , таких, что начало спектра соответствует частоте  $f_{H_e} \approx 4100$  МГц. Видно, что существует ориентация  $\theta_e=22^\circ$  (рис. 1, б, 3), при которой интенсивность осцилляций минимальна и АЧХ исследуемого макета является практически гладкой.

Аналогичное поведение АЧХ можно наблюдать при фиксированной ориентации внешнего магнитного поля ( $\theta_e=\text{const}$ ) и изменении его величины  $|\mathbf{H}_e|$ .

На рис. 1, а представлены АЧХ экспериментального макета с образцом пленки ЖИГ толщиной  $L=7$  мкм,  $\Delta H_k=0.3$  Э, подвергнутым имплантации ионами  $\text{He}^+$  с энергией  $E=150$  кэВ и дозой  $D=2 \cdot 10^{14} \text{ см}^{-2}$ . Образец был намагничен под углом  $\theta_e=20^\circ$  по отношению к нормали ФП, а величина  $|\mathbf{H}_e|$  изменилась в пределах 2280—2710 Э. Видно, что при выбранной ориентации  $\mathbf{H}_e$  существует оптимальное значение  $|\mathbf{H}_e|=2710$  Э, при котором АЧХ макета является наиболее гладкой (рис. 1, а, 4). Широкие провалы на АЧХ рис. 1, а (1, 2) связаны, по нашему мнению, с возникновением слоистости в пленке в результате обработки ее высокоэнергичными легкими ионами  $\text{He}^+$ , которые способны проникать в пленку ЖИГ на значительную глубину ( $\Delta L \sim 0.2$ —0.5 мкм).

Описанная зависимость ширины дипольных «щелей» в спектре (или интенсивности осцилляций АЧХ) от направления и величины внешнего магнитного поля  $\mathbf{H}_e$  наблюдалась нами на образцах пленок ЖИГ толщиной от 3 до 15 мкм, как имплантированных ионами  $\text{He}^+$ ,  $\text{Ar}^+$ ,  $\text{Ne}^+$  с энергией 150—175 кэВ, так и неимплантированных, но имеющих начальную ростовую поверхностную анизотропию. В большинстве исследованных образцов значения углов  $\theta_{e_{\text{кр}}}$ , соответствующих максимально гладкой АЧХ, зависели от режима имплантации, но оставались в пределах  $20 < \theta_{e_{\text{кр}}} < 30^\circ$ . Следует, однако, отметить, что в некоторых образцах, легированных при высоких энергиях ( $E=175$  кэВ), наблюдались значения  $\theta_{e_{\text{кр}}}$ , выпадавшие из указанного интервала и составлявшие  $\theta_{e_{\text{кр}}}=8-12^\circ$ .

## Теория

Для объяснения описанного эффекта зависимости ширины дипольных «щелей» в спектре от угла  $\theta_e$  воспользуемся теорией спектра дипольно-обменных спиновых волн в ФП, намагниченной под произвольным углом [5], с обменными граничными условиями общего вида (см. формулу (12) в [5] и формулу (11.93) в [7]), в которых закрепление спинов на каждой грани ФП характеризуется одной скалярной константой  $d_i$ , где  $i=1, 2$ .

Геометрия задачи и ориентации внешнего  $\mathbf{H}_e$  и внутреннего магнитных полей представлена на рис. 2. Там же приведена типичная область «расталкивания» дисперсионных ветвей вблизи дипольной «щели» в спектре ФП. Штриховые линии соответствуют пересекающимся (вырожденным) дисперсионным ветвям спин-волновых мод с номерами  $n$  и  $n'$ . Сплошными линиями показаны дисперсионные кривые, получившиеся после учета дипольного «расталкивания».

Секулярное дисперсионное уравнение, полученное в первом порядке классической теории возмущений и описывающее эффект дипольного «расталкивания» вырожденных дисперсионных ветвей, соответствующих спин-волновым модам с номерами  $n$  и  $n'$ , имеет вид (см. в [5] формулу (48))

$$\det \begin{bmatrix} \hat{D}_{nn}, & \hat{R}_{nn'} \\ \hat{R}_{n'n}, & \hat{D}_{n'n'} \end{bmatrix} = 0, \quad (1)$$

причем равенство  $\det \hat{D}_{nn} = 0$  представляет собой дисперсионное уравнение для невозмущенной спин-волновой моды с номером  $n$ .

Уравнение (1) может быть переписано в форме

$$\det \hat{D}_{nn} \cdot \det \hat{D}_{nn'} = F_{nn'}^2(0), \quad (2)$$

где стоящая в правой части функция  $F_{nn'}^2$  характеризует дипольную связь (или взаимодействие) между спин-волновыми модами с номерами  $n$  и  $n'$ .

В простейшем случае нормально намагниченной ФП ( $\theta = 0$ ) уравнение (2) принимает вид

$$(\omega_n^2 - \omega^2)(\omega_{n'}^2 - \omega^2) = \omega_M^2 \Omega_n \Omega_{n'} P_{nn'}^2 = F_{nn'}^2(0), \quad (2a)$$

а  $F_{nn'}(0)$  с точностью до множителя  $\omega_g$ , определяемого из условия  $\omega_n = \omega_{n'}$  —  $\omega_g$ , совпадает с шириной  $\Delta\omega_{nn'}$  дипольной «щели», возникающей вблизи точки вырождения дисперсионных ветвей с номерами  $n$  и  $n'$  (рис. 2)

$$F_{nn'}(0) = \Delta\omega_{nn'} \cdot \omega_g. \quad (3)$$

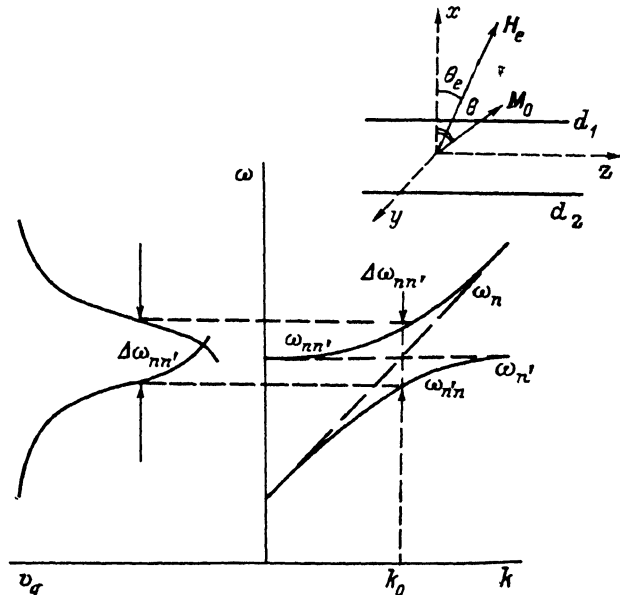


Рис. 2. Геометрия задачи и качественный вид спектра спиновых волн ФП вблизи дипольной «щели».

При  $\theta \neq 0$  величина  $F_{nn'}(\Theta)/\omega_g$  не будет в точности совпадать с шириной дипольной «щели» в спектре, но будет по-прежнему характеризовать взаимодействие «растягивающихся» спин-волновых мод.

Подставляя явные выражения для матриц  $\hat{D}_{nn}$  и  $\hat{R}_{nn'}$  (см. формулы (29), (24) в [5]) в дисперсионные уравнения (1), (2), нетрудно получить зависимость нормированной функции  $f_{nn'}(\Theta) = F_{nn'}(\Theta)/F_{nn'}(0)$ , характеризующей величину дипольного взаимодействия мод с номерами  $n$  и  $n'$ , от угла  $\theta$  между направлением внутреннего магнитного поля  $H_i$  и нормалью к ФП.

Пересчет угла наклона  $\theta_e$  внешнего магнитного поля в угол наклона  $\theta$  внутреннего магнитного поля (рис. 2) проводится по формулам

$$\begin{aligned} H_i \cos \theta &= H_e \cos \theta_e - M_0 \cos \theta, \\ M_0 \sin 2\theta &= 2H_e \sin(\theta - \theta_e). \end{aligned} \quad (4)$$

На рис. 3 приведены зависимости  $f_{nn'}(\Theta)$ , построенные для случаев симметричного ( $|d_1| = |d_2|$ ) и несимметричного ( $|d_1| \gg |d_2|$ ) закрепления спинов на гранях ФП. При сильном симметричном закреплении в спектре ФП возникают

лишь «щели», соответствующие «расталкиванию» основной моды ( $n=1$ ) с нечетными высшими модами ( $n=2m+1$ ). При несимметричном закреплении в спектре ФП имеются как нечетные ( $n=2m+1$ ), так и четные ( $n=2m$ ) дипольные «щели». На том же рисунке для сравнения проведена прямая, соответствующая нормированной частоте релаксации  $\tilde{\omega}_r = \omega_r / F_{nn'}(0)$  спиновых волн в ФП.

Кривая 1 на рис. 3, построенная для случая сильного симметричного закрепления ( $|d_1| = |d_2| = 10^8 \text{ см}^{-1}$ ), показывает, что в этом случае зависимость  $f_{nn'}(\theta)$  остается монотонной во всем интервале углов  $\theta$  и не может объяснить результатов эксперимента рис. 1.

Если же предположить, что закрепление спинов на границе пленка—воздух существенно больше, чем на границе пленка—подложка ( $|d_1| = 10^8 \text{ см}^{-1}$ ,  $|d_2| = 10^2 \text{ см}^{-1}$ ), то на зависимости  $f_{nn'}(\theta)$  как для нечетной «щели»  $n=1$ ,  $n'=21$  (сплошная кривая 2 на рис. 3), так и для четной «щели»  $n=1$ ,  $n'=22$  (штриховая кривая 2) наблюдается скачок при  $\theta_{kp}=45^\circ$ . Величина  $f_{nn'}(\theta)$  в некотором интервале углов  $\theta$  за этим скачком оказывается меньше или равной нормированной частоте релаксации  $\tilde{\omega}_r$  (рис. 3), следовательно, дипольные «щели» в этом интервале углов  $\theta$  будут «замазаны» релаксацией и не будут видны в эксперименте. В дальнейшем при увеличении  $\theta$   $f_{nn'}(\theta)$  возрастает и становится больше  $\tilde{\omega}_r$ .

Пересчет по формулам (4) для пленок ЖИГ ( $4\pi M_0 = 1750 \text{ Гс}$ ), использованных

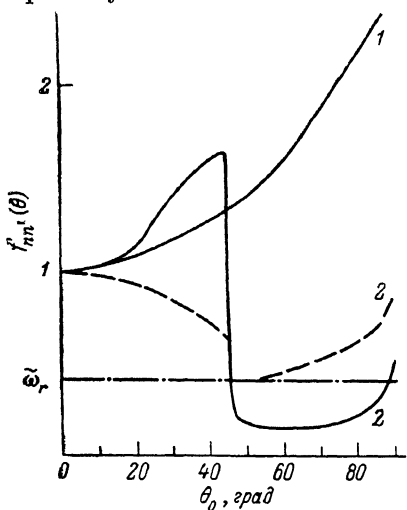


Рис. 3. Зависимость величины  $f_{nn'}$ , характеризующей дипольное «расталкивание» в спектре спиновых волн ферромагнитной пленки, от внутреннего угла  $\theta$  для двух случаев закрепления поверхностных спинов.

$$1 - |d_1| = |d_2| = 10^8 \text{ см}^{-1}, 2 - |d_1| = 10^8 \text{ см}^{-1}, |d_2| = 10^2 \text{ см}^{-1}.$$

в экспериментах рис. 1, дает значения критического внешнего угла  $\theta_{ekp}$ , соответствующего минимальной ширине «щели»,  $\theta_{ekp}=20-22^\circ$ , что удовлетворительно совпадает с результатами большинства опытов.

Количественное согласие значений  $\theta_{ekp}$ , полученных в эксперименте и в теории, наблюдается не для всех образцов пленок ЖИГ, подвергнутых ионной имплантации. По нашему мнению, это связано с наличием в имплантированных пленках кристаллографической анизотропии, приводящей к значительному изменению равновесной ориентации  $M_0$  и не учитываемой формулами (4). При известных значениях констант анизотропии для данного образца пленки пересчет  $\theta_{kp}$  в  $\theta_{ekp}$  может быть проведен по формулам работы [13], учитывающим наличие кристаллографической анизотропии. Кроме того, при имплантации легкими ионами с большой энергией ( $E=175 \text{ кэВ}$ ) захватывается достаточно толстый слой пленки ЖИГ ( $\Delta L \sim 0.5 \text{ мкм}$ ). Поэтому простая модель обменных граничных условий [7], описывающая закрепление спинов на поверхности ФП с помощью одного скалярного параметра  $d_i$ , может оказаться не соответствующей действительности.

Проведенные исследования (рис. 1, 3) показали, что изменением ориентации ФП во внешнем магнитном поле можно добиться уменьшения ширины дипольных «щелей» в спектре спиновых волн ФП. Интересно сравнить эти результаты с результатами работ по определению термостабильной ориентации ФП во внешнем магнитном поле.

В работе [11] было получено простое выражение для угла  $\theta_{et}$ , при котором происходит температурная стабилизация верхней и нижней границ дипольного спектра в наклонно намагниченной ФП

$$\operatorname{tg}^2 \theta_{\text{ср}} = \frac{2}{1 + \frac{\omega_M}{\omega_H}}. \quad (5)$$

Сравнивая (5) с полученным выше значением  $\theta_{\text{ср}}=45^\circ$ , можно заметить, что в интервале полей, где  $\omega_B \approx \omega_M$ , термостабильная ориентация ФП  $\theta_{\text{ср}}$  совпадает с ориентацией  $\theta_{\text{ср}}$ , соответствующей наиболее гладкой АЧХ. По-видимому, это обстоятельство можно использовать для улучшения характеристик спин-волновых приборов обработки сигналов.

### Список литературы

- [1] Adam J. D., O'Keeffe T. W., Patterson R. W. // J. Appl. Phys. 1979. Vol. 50. P. 2446—2448.
- [2] Гулляев Ю. В., Бугаев А. С., Зильберман П. Е. и др. // Письма в ЖЭТФ. 1979. Т. 30. Вып. 3. С. 600—603.
- [3] Калиникос Б. А. // Изв. вузов. Физика. 1981. № 8. С. 42—57.
- [4] Калиникос Б. А., Ковшиков Н. Г., Славин А. Н. // ЖЭТФ. 1988. Т. 94. Вып. 2. С. 159—176.
- [5] Kalinikos B. A., Slavin A. N. // J. Phys. C. 1986. Vol. 19. P. 7013—7033.
- [6] Андреев А. С., Гулляев Ю. В., Зильберман П. Е. и др. // ЖЭТФ. 1984. Т. 86. Вып. 3. С. 1005—1015.
- [7] Суху Р. Тонкие магнитные пленки. М.: Мир, 1967. 310 с.
- [8] Рандошкин В. В. // Радиоэлектроника за рубежом. 1983. № 8. С. 1—34.
- [9] Яковлев Ю. М., Ржихина Е. Г., Крылова Т. А. и др. // ФТТ. 1988. Т. 30. Вып. 2. С. 622—624.
- [10] Стадурский Л. Л. // Тез. докл. XI Всесоюз. школы-семинара «Новые магнитные материалы микроэлектроники». Ташкент, 1988. С. 160—161.
- [11] Славин А. Н., Фетисов Ю. К. // ЖТФ. 1988. Т. 58. Вып. 11. С. 2210—2219.
- [12] Яковлев Ю. М., Ржихина Е. Г., Крылова Т. А., Урбонас Д.-Т. А. // Тез. докл. III Семинара по функциональной магнитоэлектронике. Красноярск, 1988. С. 194—195.
- [13] Беляков С. В. // Электронная техника. Электроника СВЧ. 1988. № 8. С. 39—45.

Ленинградский электротехнический  
институт им. В. И. Ульянова (Ленина)

Поступило в Редакцию  
11 мая 1989 г.